

中都工業大学 正員 ○ 松尾直規
 京都大学工学部 正員 岩佐義朗
 建設省土木研究所 正員 森北佳昭

1. はじめに 貯水池の富栄養化に関する各種水質濃度の分布は、水深方向ばかりではなく流れ方向にも変化することが知られている。いいかえれば、貯水池内でのこれらの変化は、水温成層や光層の深さに因るばかりでなく、流入(出)水の流れの運動学的挙動と底流入栄養塩類の分布、さらには貯水池の複雑な幾何形状などによっても大きな影響を受ける。本研究は、こうした富栄養化関係物質の濃度分布特性を、著者らの貯水池水理モデルにより数値解析し、その結果に基づいて、富栄養化過程における各種水質要素の挙動とその変化に寄与する流れの場との関係を考察したものである。

2. 数値解析モデル 貯水池における富栄養化の解析にも、水温及び濃度を対象とする場合と同様に、流体力学原理を出发点とし二次元の貯水池水理モデルが適用される。このモデルについては、既に詳述しているので説明は省略するが、富栄養化の解析にあたって、クロロフィルa(植物プランクトン)、炭素(動物プランクトン)、総リン、無機態及び有機態窒素の各濃度を指標に選び、これらの生物学的・化学的生産・消費項をそれぞれの濃度収支則に付加することにより。

表-1 富栄養化解析モデル

その適用を図ったものが、表-1に示す富栄養化解析モデルである。このモデルでは、各水質濃度の生産・消費項に因する水温の影響を指標用数で表現するとともに、津野ら³⁾が提案した植物プランクトンの増殖に関するスヤース効果(β_S)と浮遊物質(ここではクロロフィルa濃度で代表している)による日射の減衰係数 γ への影響を考慮している。なお、式中の各記号の説明は紙面の都合上省略するが、既報³⁾で用いたものと同様である。

3. 数値解析結果とその考察 表-1のモデルを東京某室内貯水池に適用し、昭和52年1月25日～10月31日の期間について、各種水質濃度の変化を数値解析したが、その結果の一例が図-1～4である。解析にはRunge-kutta法を用い、 $\Delta x = 200\text{m}$ 、 $\Delta y = 1\text{m}$ とし、また安定条件を満たすように Δt を与えた。なお、境界条件などに各種のパラメータ値等については、既報³⁾のものと同様である。

図-1～4は、安定した水温成層が標高270m～275mの位置に形成されてい

| | |
|------------------------|---|
| 1. 水の連続式 | $(u \cdot B)_{x_i}^{j+1} A_g + (v \cdot A)_{y_n}^{j+1} + q_b = 0$ |
| 2. 運動量保存則(流下方向) | $\frac{\partial u}{\partial t} = -A(u \cdot u)_{x_i}^{j+1} - \frac{1}{A \Delta y} (u \cdot v) A_{y_n}^{j+1} - \frac{1}{A \Delta y} u \cdot q_b - \frac{1}{A} P B_{x_i}^{j+1} + \frac{1}{A} D_{nx} \frac{\partial u}{\partial x} B_{x_i}^{j+1} + \frac{1}{A \Delta y} D_{ny} \frac{\partial u}{\partial y} A_{y_n}^{j+1}$ |
| 3. 運動量保存則(水深方向) | $D = \int_y^y q g dy$ |
| 4. 水温収支則 | $\frac{\partial T}{\partial t} = -\frac{1}{A} T \cdot u B_{x_i}^{j+1} - \frac{1}{A \Delta y} T \cdot v A_{y_n}^{j+1} - \frac{1}{A \Delta y} T \cdot q_b + \frac{1}{A} D_{nx} \frac{\partial T}{\partial x} B_{x_i}^{j+1} + \frac{1}{A \Delta y} D_{ny} \frac{\partial T}{\partial y} A_{y_n}^{j+1} - \frac{1}{B C w \Delta y} \Phi A_{y_n}^{j+1}$ |
| 5. 濃度収支則 | |
| 5-1. クロロフィルa濃度 | $\frac{\partial C_p}{\partial t} = F(C_p) - \frac{1}{A \Delta y} C_p V_{app} A_{y_n}^{j+1} + G_{cp} - R_{cp} \theta_{cp}^{T>0} C_p - G_2$ |
| 5-2. 動物プランクトンに相当する炭素濃度 | $\frac{\partial Z}{\partial t} = F(Z) + \alpha \alpha_Z G_2 - R_{Z20} \theta_{Z2}^{T>0} Z$ |
| 5-3. 総リン濃度 | $\frac{\partial P}{\partial t} = F(PH) - \frac{1}{A \Delta y} PH V_{app} A_{y_n}^{j+1} + \frac{L_{ph}}{1000 \Delta y}$ |
| 5-4. 無機態窒素濃度 | $\frac{\partial N}{\partial t} = F(N) - \frac{1}{A \Delta y} N V_{app} A_{y_n}^{j+1} - B_N G_{cp} + R_{N20} \theta_{N2}^{T>0} (NO - B_N C_p + Z) + B_N (1 - \alpha_Z) G_2$ |
| 5-5. 有機態窒素濃度 | $\frac{\partial No}{\partial t} = F(No) + B_N G_{cp} - R_{N20} \theta_{N2}^{T>0} (No - B_N C_p + Z) - B_N (1 - \alpha_Z) G_2$ |

ここで

$$F(C) = -\frac{1}{A} [C \cdot u \cdot B]_{x_i}^{j+1} - \frac{1}{A \Delta y} [C \cdot v \cdot A]_{y_n}^{j+1} - \frac{1}{A \Delta y} C_b \cdot q_b + \frac{1}{A} D_{nx} \frac{\partial C}{\partial x} B_{x_i}^{j+1} + \frac{1}{A \Delta y} D_{ny} \frac{\partial C}{\partial y} A_{y_n}^{j+1}$$

$$\{ C = C_p, Z, PH, N, NO \}$$

$$G_{cp} = B_S \mu_{cp} \theta_{cp}^{T>0} \frac{I_s}{I_s} \exp(1 - \frac{I_s}{I_s}) \cdot \frac{N_I}{K_{N_I} + N_I} \cdot \frac{PH}{K_{PH} + PH} \cdot C_p$$

$$G_2 = C_p \cdot \frac{K_{cp}}{K_{cp} + C_p} \cdot C_p \cdot Z$$

$$B_S = \exp(-0.0385 C_p)$$

$$I_s = I_0 \exp\{-\eta (y_s - y)\}$$

$$\eta = 0.2 + 0.001 C_p$$

た平常時のもとであるが、まず図-1より、このと主の貯留水の流れの運動学的特徴について述べると次のようである。室生貯水池では、ダムごの表層取水(図中のQ₃)に加え、貯水池中央部に設置された取水口から水道用水の取水(Q₂)が行なわれているため、その影響によって、上流側では流入水が表層水を連続しながら取水口水深まで拡がる形で表水層を流れることに対し、下流側ではダム取水口へ向かう流れの速度が減じられ、一部では逆に上流側へ向かう流れがあらわれている。また、水道用取水口の下流側では表面付近を除くと流速はまわめて小さく、深水層の水はほとんど動かないと考えてよいであろう。

図2～4に示した各水質濃度の分布は、こうした貯留水の流れの特徴を反映したものと考えられる。すなわち、流入した栄養塩は、水道用取水口の上流側表水層に移流・拡散され、それより下流側への輸送は十分ではなく、また貯水池底より溶出する栄養塩も、上流側では表水層内に移送されるが、下流側では深水層内にとどまり表水層へ運ばれることはほとんどないことが表現されている。このため、取水口より上流側の表水層では、豊富な栄養塩の供給を背景に、植物プランクトンの増殖が活発化し、その結果、クロロフィルa濃度の高濃度域が形成されることか、図-2の計算例に表わされている。とくに、高温かつ日射が十分な表面付近では高い濃度となっている。一方、この取水口よりダムにかけての水域では、クロロフィルa濃度は比較的低く、先に述べた流れの運動学的特徴を反映するような分布形状を示していることがわかる。これから、この水域では、栄養塩の供給が十分でないために植物プランクトンの増殖は余り活発化せず、むしろ上流の高濃度域からの移流物質量の影響が大きいことが予想される。こうしたクロロフィルa濃度の分布、すなわち生物学的生産に関する空間的特徴は、図-3の無機態窒素濃度の分布において、流入した比較的高濃度の窒素が上流部表水層でほとんど消費され、それより下流側での濃度はまわめて低いことからも理解できるであろう。

なお、以上に述べた各水質濃度の分布傾向は、実測資料においてもみられるものであり、図-1～4の計算結果は、實際の濃度分布特性をおおむね説明し得るものと考えられる。4. おわりに 以上の解析により、富栄養化に関係する各種水質要素の空間的分布特性とその変化に寄与する流れの場との関連が、少なくとも定性的には明らかにされた。

〈参考文献〉 ① 岩佐・松尾：土木学会論文報告集308号、1981年4月
② 津野：国立公害研究所報第6号、1979
③ 松尾・岩佐：第24回水講論文集、1980年2月

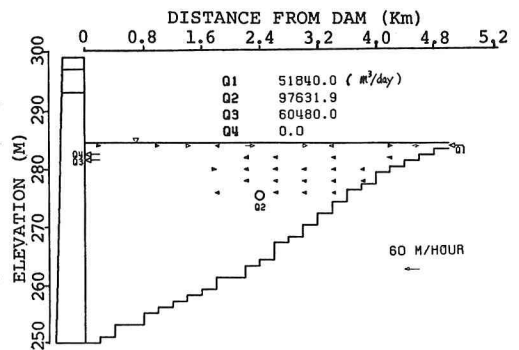


図-1 流速分布(室生貯水池, 昭和52年8月31日)

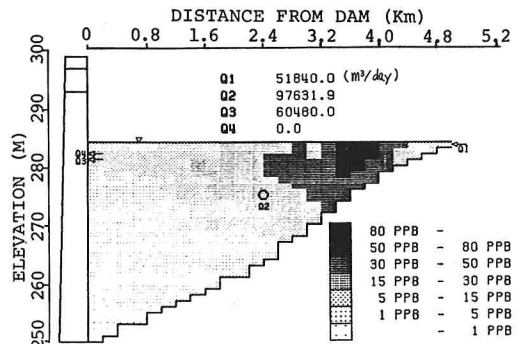


図-2 クロロフィルa濃度の分布(室生貯水池, 昭和52年8月31日)

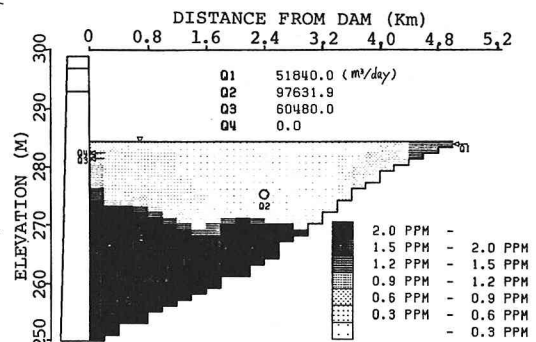


図-3 無機態窒素濃度の分布(室生貯水池, 昭和52年8月31日)

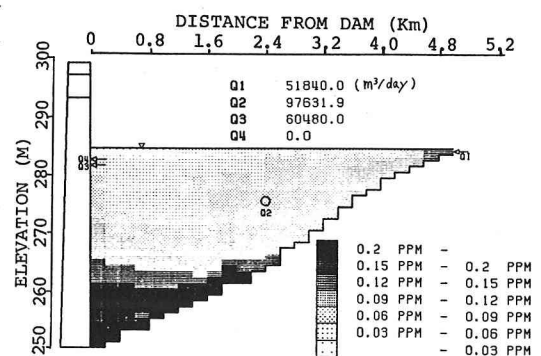


図-4 総リン濃度の分布(室生貯水池, 昭和52年8月31日)